

II-227 地下帯水層における放射性核種の挙動

京都大学工学部 正 井上龍輝 学 ○春澤真輔

放射性廃棄物を地中処分する方法は、加速度的に増大して「く廃棄物を安全且つ経済的に最終処分する為の有望な方法の一である。地中に処分された廃棄物中に含まれる放射性核種は、雨水浸透水、地下水等の影響を受けて地中に漏出し、最終的には再び人間の生活環境に広がってくる。

放射性廃棄物を安全に地中処分できるかどうかを判断するためには、問題となる放射性核種が環境中、とりわけ地中をどの程度の速さで移動するかを把握することが必要である。放射性核種の地下水と土壤との間の分配係数は、核種の地中での移動速度と密接な関係であり、従って分配係数の値を知ればその核種の地中での移動の容易さを知ることができる。放射性核種の分配係数は、核種、土壤の種類、地下水の水質、温度、更には測定法等によても異なる物理化学量である。分配係数は、問題とする地中に多くのイオン A, B, C, D, ... が存在する場合では、式(1)で与えられ、特に A, B 両イオン間の交換が支配的に起ると考えられる場合では式(2)で近似することができる。

$$k_{d,A} = \frac{g_A}{C_A} \\ = (K_B^A \cdot K_C^A \cdot K_D^A \cdots)^{\frac{1}{b+c+d+\cdots}} \cdot \left\{ \frac{g_B \cdot g_C \cdot g_D \cdots}{C_B \cdot C_C \cdot C_D \cdots} \right\}^{\frac{a}{b+c+d+\cdots}} \quad \dots \dots \dots \quad (1)$$

$$k_{d,A} = K_B^{\frac{1}{b}} \cdot \left(\frac{g_B}{C_B} \right)^{\frac{a}{b}} \quad \dots \dots \dots \quad (2)$$

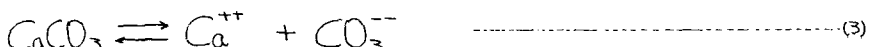
ここで $k_{d,A}$; A イオンの分配係数。

K_i^j ; イオン i, j 両の Mass action constant.

g_i, C_i ; 各々 i イオンの土壤中 or 地下水中濃度。

a, b, ...; 各々 A, B, ... イオンのイオン価数。

一般にイオン交換反応においては、2価のイオンは1価の1イオンより、23価のイオンは2価のイオンより、即ち1イオン価の高いイオン程交換吸着され易い。更に、地中に多量に存在する多価イオンとしては Ca^{2+} イオンがあり、地中のカルシウムイオン濃度は、



ある反応により土壤中の炭酸カルシウムと密接な関係にある。従来から、放射性核種の地中での挙動を論ずる場合には、放射性核種の地下水と土壤との間の分配係数は一定であるとみなされてきた。しかししながら、実際には地下水の水質は必ずしも一定しておらず、例えばカルシウムについてければ(3)式の様々な反応が起りうる。放射性核種の分配係数は、従て地中での移動の速さは地中の炭酸カルシウムが沈殿する傾向にある場合と溶解する傾向にある場合とでは大きく異なるであろうことが簡単に推定できる。本報告では、地中のカルシウムイオン濃度に注目し、主として原子力発電所より発生する廃棄物中に含まれる放射性核種、Sr, Cs, Co, Fe, Ag, Zn, Mn の分配係数の変化を説明する

ことを試みた。

式(3)で表される反応がいつの方向に進行するかは、地下水中のカルシウムイオン濃度、Mアルカリ度、水素イオン濃度並温度によって定まる。¹⁾ 即ち、

$$I = \text{pH} - \text{pH}_s \quad \dots \dots \dots \quad (4)$$

$$\text{pH}_s = 8.313 - \log(\text{Ca}) - \log(\text{M-Alk度}) \quad \text{at } 25^\circ \quad \dots \dots \dots \quad (5)$$

ここに pH_s は、式(3)の反応が平衡状態にある場合の pH 値を、pH は実際の pH 値を表す。式(4)で定義される量 I は飽和指數(Saturation Index)と呼ばれ、 $I < 0$ であれば土壌中の炭酸カルシウムが溶解、即ち式(3)の反応が右向きに進行し、 $I > 0$ であれば地下水中のカルシウムが沈殿、即ち式(3)の反応が左向きに進行する。

図1は試料砂を充填したガラスカラムに Zn-65 を含む地下水を通水して得たZn-65 の溶出曲線を示したものである。尚本実験で用いた試料砂は、砂を主とする粗粒で密度 2.49 [g/cm³]、標準酸アノニウム法で測定した交換容量は平均 24.33 [$\mu\text{eq/g-sand}$]、Ca-45 を用いて測定した交換容量は平均 18.32 [$\mu\text{eq/g-sand}$]であった。又実験には試料砂を採取したと同じ場所の地下水を使用した。

図1中の Curve no.-1 は $I = \text{pH} - \text{pH}_s < 0$ の場合の溶出曲線を、Curve no.-2 は $I = \text{pH} - \text{pH}_s \approx 0$ の場合の溶出曲線を示したものである。Curve no.-3 は最初 $I = \text{pH} - \text{pH}_s = 0.390 > 0$ 、即ち地下水中の炭酸カルシウムが沈殿する状態で通水して得た。Zn-65 の溶出が検知されないので通水量 $\times 4$ [liter] を越える位置で $I = \text{pH} - \text{pH}_s = -0.509 < 0$ の地下水を通水した場合の Zn-65 の溶出曲線である。Curve no.-1 の立ちあがりと Curve no.-3 の立ちあがりとはほぼ同一である。

図2～図5は、代表的に Co-60、Ag-110m の分配係数の変化を、地下水中のカルシウム・マグネシウムイオン濃度、pH 値、を変化させドット法により求め、各指標に対してプロットしたものである。

図2はカルシウムイオン濃度が低い程、水素イオン濃度が低い程(pH 値が大きい程)、即ち地下水中の陽イオン濃度が低い程 Co-60 の分配係数が大きくなることを示している。この様な傾向は式(2)によても推定することができる。一方、分配係数の値 $k_{d,Co}$ を飽和指數 I に対してプロットした図-4は、分配係数 $k_{d,Co}$ は $I = 0$ の前後で大きく

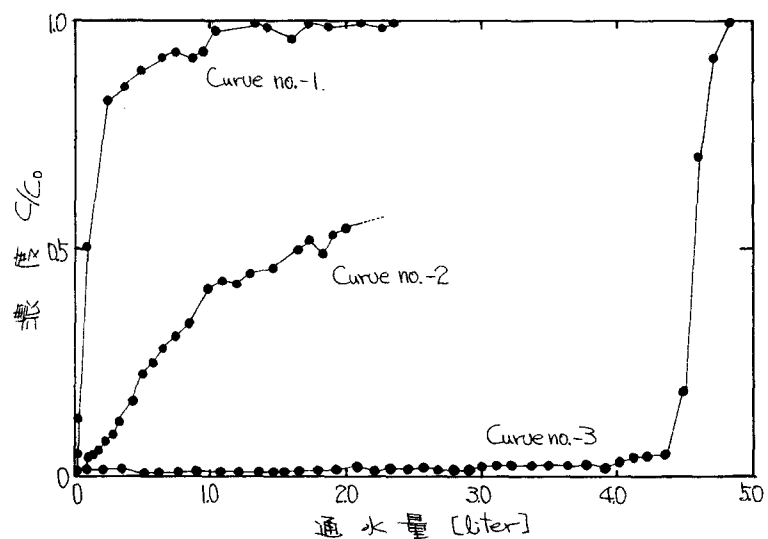


図1 Zn-65 の溶出曲線の比較

変化しており、従って飽和指數 I が分配係数の変化を表す、カルシウムイオン濃度、pH 値、等を包摂した効果を表す複雑な指標となりうることを示してある。

一方、図-3、図-5 は Ag-110m 及び Co-60 とは異った型の挙動をすることを示している。Ag-110m のこの様な挙動は、イオン交換現象について應用された理論によれば説明することはできず、従って実験条件下では Ag-110m やイオン交換現象に対して不活性状態で存在すると考えるのが妥当である。図-6 は、この推論を検証するため、カラムに陽イオン交換樹脂 Amberlite IR-120B を充填し、

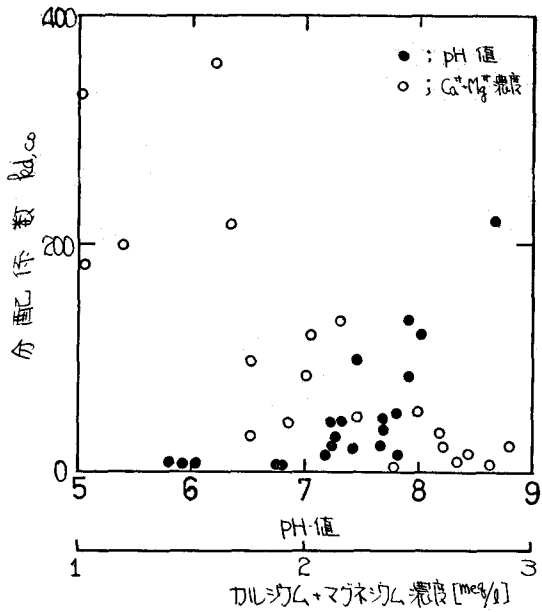


図-2. Co-60 の分配係数の変化

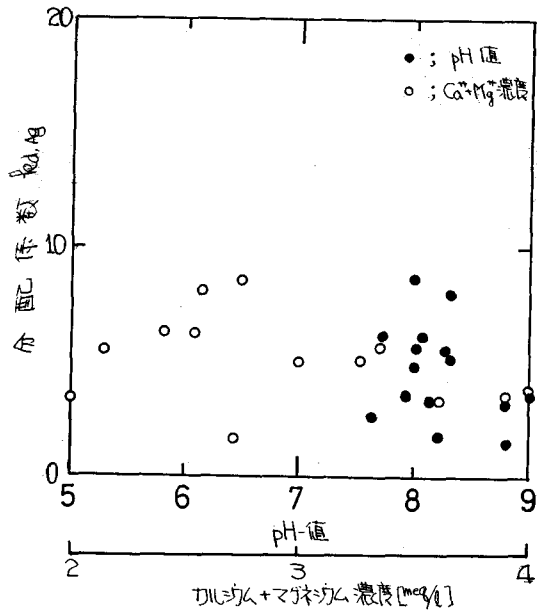


図-3. Ag-110m の分配係数の変化

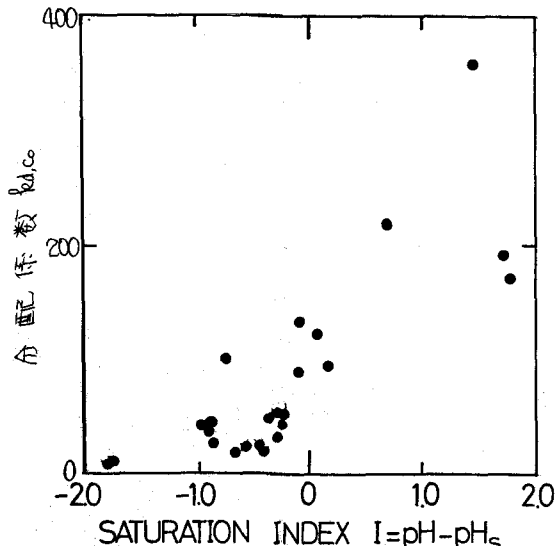


図-4. Co-60 の分配係数の変化

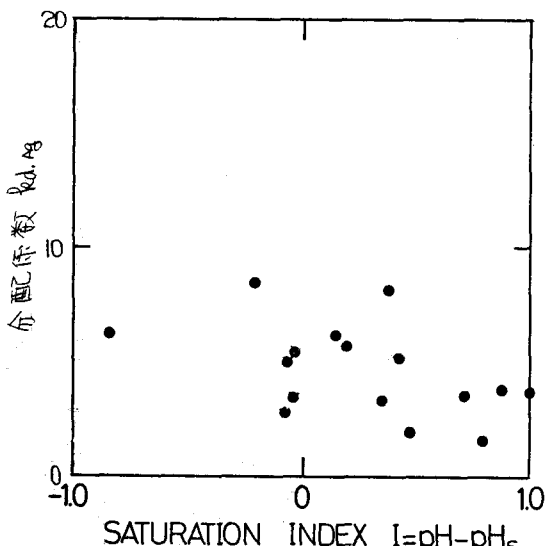


図-5. Ag-110m の分配係数の変化

$\text{Ag}-110\text{m}$ を含む地下水を通水して得た、 $\text{Ag}-110\text{m}$ の溶出曲線である。同図から解る様に、 $\text{Ag}-110\text{m}$ はそのほぼ 50 [liter] が地下水と同速度で地中を移動する。こうした現象が起る場合には、たとえ荷種の半減期が短くとも、環境に与える効果は大きく、その荷種により地中での安全性が決定される場合がある。²⁾ 文献によると考察すれば、 $\text{Ag}-110\text{m}$ は地下水中でラジオコロイドを形成していると推定できる。 $\text{Fe}-59$ もほぼ $\text{Ag}-110\text{m}$ と同じ挙動を示し、その他の荷種; $\text{Sr}-90$ $\text{Cs}-137$, $\text{Mn}-54$, $\text{Zn}-65$ はほぼ $\text{Co}-60$ と同様の挙動を示す。

本研究によって得られた結果を整理して示すと次の様になる。

- 放射性荷種の分配係数は一定値ではなく、特に地下水中のカルシウムイオン濃度により大きく変化する。
- その変化の度合を表す指標としては、飽和指数(Saturation Index) $I = \text{pH} - \text{pH}_s$ を用いることとする。
- 放射性荷種によつては $\text{Ag}-110\text{m}$, $\text{Fe}-59$ の様にラジオコロイド、水酸化物の様なイオン交換反応に対して不活性な状態で存在する場合があり、この場合には荷種が地中を地下水と同速度で移動するより注意を要する。放射性荷種の地下水中での存在形態と分配係数との関係を更に定量的に把握する研究が必要である。

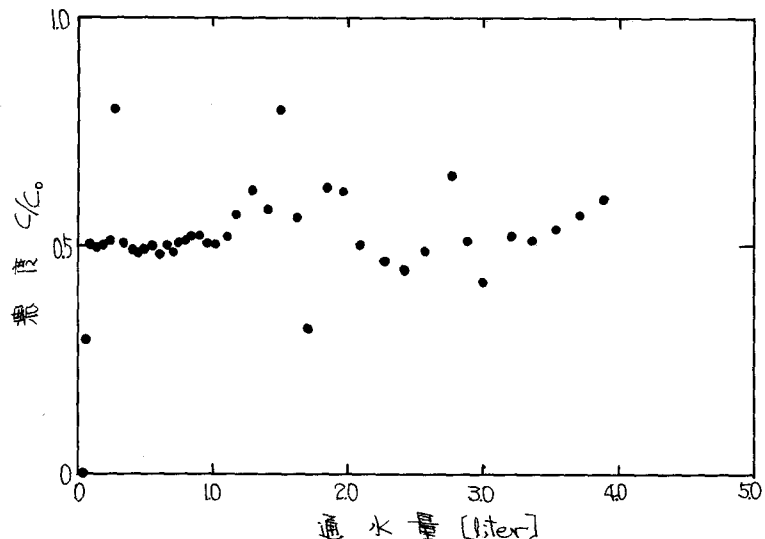


図-6. $\text{Ag}-110\text{m}$ の溶出曲線

Amberlite IR-120B 使用

参考文献

- Fair and Grayor, "Water supply and waste-water disposal," John Wiley and Sons. (1956)
- 井上義輝・森澤眞輔, "放射性廃棄物地中処分に関する一試算" 本講演会予稿集
- 例えは、市川富士夫他著 "放射化学の基礎" 南江堂 (1962).